

УДК 539.3

## ДИНАМИЧЕСКИЙ УПРУГОПЛАСТИЧЕСКИЙ КОНТАКТ УДАРНИКА И СФЕРИЧЕСКОЙ ОБОЛОЧКИ

Д. Г. Бирюков, И. Г. Кадомцев

Ростовский государственный университет, 344090 Ростов-на-Дону

Рассматривается динамический осесимметричный упругопластический контакт массивного тела и кругового сегмента сферической оболочки, шарнирно опертой по контуру. Ставится задача об определении контактной силы взаимодействия в случаях, когда тело имеет сферическую и коническую форму. Выводится нелинейное интегральное уравнение для определения контактной силы с использованием безмоментных уравнений равновесия сферической оболочки, разрешенных относительно радиального перемещения оболочки, и различных моделей местного смятия. Результаты численного решения приводятся в виде графиков.

Задача рассматривается в предположении, что скорость взаимного сближения значительно меньше скорости упругих волн в материалах, что позволяет динамическую задачу заменить квазистатической за счет пренебрежения инерцией местного смятия в области контакта. Будем считать общие перемещения оболочки упругими, а местные в зоне контакта тела с оболочкой — упругопластическими. В начальный момент оболочка находится в покое. По вершине купола ударяет тело массой  $m$  с упругими постоянными  $E_2$ ,  $\nu_2$  и пластической постоянной  $k_2$ .

Перемещение падающего тела обозначим через  $s$ , перемещение оболочки в точке контакта — через  $w$ , местное смятие — через  $\alpha$ . Тогда имеет место зависимость [1]

$$s = w + \alpha. \quad (1)$$

Для определения перемещения ударника  $s$  используем дифференциальное уравнение движения тела  $m\ddot{s} = -P(t)$ , интегрируя которое с учетом начальных условий  $s_0 = 0$ ,  $\dot{s}_0 = V_0$ , получаем

$$s(t) = V_0 t - \frac{1}{m} \int_0^t \int_0^{t_1} P(t_2) dt_2 dt_1, \quad (2)$$

где  $V_0$  — скорость ударника в начальный момент времени, направленная вдоль радиуса оболочки.

Перемещение оболочки под действием силы, приложенной в ее вершине, определим из безмоментных уравнений движения сферической оболочки, которые имеют вид

$$(N_\varphi \sin \varphi)_{,\varphi} - N_\theta \cos \varphi = \rho h R_1 \ddot{u}_\varphi \sin \varphi, \quad N_\varphi + N_\theta = -\rho h R_1 \ddot{w} + q_3 R_1; \quad (3)$$

$$N_\varphi = E_1 h ((1 - \nu_1^2) R_1)^{-1} (u_{\varphi,\varphi} + w + \nu_1 (u_\varphi \operatorname{ctg} \varphi + w)), \quad (4)$$

$$N_\theta = E_1 h ((1 - \nu_1^2) R_1)^{-1} (u_\varphi \operatorname{ctg} \varphi + w + \nu_1 (u_{\varphi,\varphi} + w)).$$

Здесь  $\rho$  — плотность материала;  $h$ ,  $R_1$  — толщина и радиус оболочки;  $q_3$  — нагрузка;  $E_1$ ,  $\nu_1$  — упругие постоянные оболочки; координатные линии  $\varphi$  и  $\theta$  направлены вдоль меридиана и параллели соответственно. Пластическую постоянную оболочки обозначим  $k_1$ .

Граничные условия записываются в виде

$$u_\varphi|_{\varphi=\varphi_0} = 0, \quad w|_{\varphi=\varphi_0} = 0, \quad (5)$$

где  $\varphi_0$  — угол раствора купола.

Введем следующие безразмерные величины:  $v = u_\varphi/R_1$ ,  $w = w/R_1$ ,  $\tau = tc/R_1$ ,  $c^2 = E_1((1 - \nu_1^2)\rho)^{-1}$ . Тогда уравнения (3), (4) запишутся в виде

$$\begin{aligned} (N_\varphi \sin \varphi)_{,\varphi} - N_\theta \cos \varphi &= E_1 h (1 - \nu_1^2)^{-1} v_{,\tau\tau} \sin \varphi, \\ N_\varphi + N_\theta &= -E_1 h (1 - \nu_1^2)^{-1} w_{,\tau\tau} + q_3 R_1, \\ N_\varphi &= E_1 h (1 - \nu_1^2)^{-1} (v_{,\varphi} + w + \nu_1 (v \operatorname{ctg} \varphi + w)), \\ N_\theta &= E_1 h (1 - \nu_1^2)^{-1} (v \operatorname{ctg} \varphi + w + \nu_1 (v_{,\varphi} + w)). \end{aligned}$$

Исключим из этих уравнений усилия  $N_\varphi$ ,  $N_\theta$ :

$$\begin{aligned} v_{,\varphi\varphi} \sin \varphi + v_{,\varphi} \cos \varphi - (\operatorname{ctg} \varphi \cos \varphi + \nu_1 \sin \varphi) v + (1 + \nu_1) w_{,\varphi} \sin \varphi &= v_{,\tau\tau} \sin \varphi, \\ (1 + \nu_1) (v_{,\varphi} + v \operatorname{ctg} \varphi + 2w) &= -w_{,\tau\tau} + q, \quad q = (1 - \nu_1^2) (E_1 h)^{-1} R_1 q_3. \end{aligned}$$

Сделаем замену  $v_\varphi = v \sin \varphi$ :

$$\begin{aligned} v_{\varphi,\varphi\varphi} - v_{\varphi,\varphi} \operatorname{ctg} \varphi + (1 - \nu_1) v_\varphi + (1 + \nu_1) w_{,\varphi} \sin \varphi &= v_{\varphi,\tau\tau}, \\ (1 + \nu_1) (v_{\varphi,\varphi} \sin^{-1} \varphi + 2w) &= -w_{,\tau\tau} + q. \end{aligned}$$

Применим преобразование Лапласа по времени  $t$ , обозначив изображения  $v_\varphi$ ,  $w$ ,  $q$  через  $v_\varphi^*$ ,  $w^*$ ,  $q^*$  соответственно:

$$\begin{aligned} v_{\varphi,\varphi\varphi}^* - v_{\varphi,\varphi}^* \operatorname{ctg} \varphi + (1 - \nu_1 - p^2) v_\varphi^* + (1 + \nu_1) w_{,\varphi}^* \sin \varphi &= 0, \\ (1 + \nu_1) v_{\varphi,\varphi}^* \sin^{-1} \varphi + (2(1 + \nu_1) + p^2) w^* &= q^*, \end{aligned} \quad (6)$$

после чего преобразуем систему (6) к виду

$$\begin{aligned} (v_{\varphi,\varphi}^* \sin^{-1} \varphi)_{,\varphi} + (1 - \nu_1 - p^2) v_\varphi^* \sin^{-1} \varphi + (1 + \nu_1) w_{,\varphi}^* &= 0, \\ (1 + \nu_1) (v_{\varphi,\varphi}^* \sin^{-1} \varphi)_{,\varphi} + (2(1 + \nu_1) + p^2) w_{,\varphi}^* &= q_{,\varphi}^*. \end{aligned}$$

Отсюда, исключая  $(v_{\varphi,\varphi}^* \sin^{-1} \varphi)_{,\varphi}$ , находим

$$v_\varphi^* = \sin \varphi ((1 + \nu_1) (1 - \nu_1 - p^2))^{-1} (w_{,\varphi}^* (1 - \nu_1^2 + p^2) - q_{,\varphi}^*).$$

Дифференцируя полученное выражение для  $v_\varphi^*$  по  $\varphi$ , имеем

$$v_{\varphi,\varphi}^* = ((1 + \nu_1) (1 - \nu_1 - p^2))^{-1} ((1 - \nu_1^2 + p^2) (w_{,\varphi\varphi}^* \sin \varphi + w_{,\varphi}^* \cos \varphi) - (q_{,\varphi\varphi}^* \sin \varphi + q_{,\varphi}^* \cos \varphi)).$$

Подставив последнее выражение во второе уравнение системы (6), для  $w^*$  получим

$$\begin{aligned} \nabla^2 w^* + (2(1 - \nu_1^2) - (1 + 3\nu_1) p^2 - p^4) (1 - \nu_1^2 + p^2)^{-1} w^* &= \\ &= (1 - \nu_1^2 + p^2)^{-1} (\nabla^2 q^* + (1 - \nu_1 - p^2) q^*), \end{aligned} \quad (7)$$

где  $\nabla^2 = \partial^2/\partial\varphi^2 + (\partial/\partial\varphi) \operatorname{ctg} \varphi$ .

Решение (7) ищем в виде ряда по полиномам Лежандра, которые обладают полнотой и удовлетворяют граничным условиям (5):

$$w^* = \sum_{n=0}^{\infty} w_n^* P_n(\cos(\delta_1 \varphi)), \quad \delta_1 = \frac{\pi}{2\varphi_0}.$$

Сосредоточенную нагрузку  $q(t, \varphi) = P(t)\delta(\varphi)$  также раскладываем в ряд по полиномам Лежандра:

$$q = P(t)(2\pi R_1^2(1 - \cos \varphi_0))^{-1} \sum_{n=0}^{\infty} (2n + 1)P_n(\cos(\delta_1 \varphi)),$$

$$q^* = P^*(p)(2\pi R_1^2(1 - \cos \varphi_0))^{-1} \sum_{n=0}^{\infty} (2n + 1)P_n(\cos(\delta_1 \varphi)).$$

Подставляя разложения  $w^*$  и  $q^*$  в (7), находим

$$w_n^* = P^*(1 - \nu_1^2)(2n + 1)(p^2 + B)(2\pi R_1 h E_1(1 - \cos \varphi_0)(p^4 + p^2 A_2 + A_0))^{-1},$$

$$B = n\delta_1(n\delta_1 + 1) + \nu_1 - 1, \quad A_2 = n\delta_1(n\delta_1 + 1) + 3\nu_1 + 1,$$

$$A_0 = (1 - \nu_1^2)n\delta_1(n\delta_1 + 1) - 2(1 - \nu_1^2).$$

Так как

$$p^4 + p^2 A_2 + A_0 = (p^2 + \omega_1^2)(p^2 + \omega_2^2),$$

$$\omega_1^2 = (A_2 + \sqrt{A_2^2 - 4A_0})/2, \quad \omega_2^2 = (A_2 - \sqrt{A_2^2 - 4A_0})/2,$$

то получим выражение, для которого существует табличное значение преобразования Лапласа [2]. Окончательно выражение для перемещения оболочки  $w$  запишется в виде

$$w(\varphi, \tau) = \frac{1 - \nu_1^2}{2\pi R_1 h E_1(1 - \cos \varphi_0)} \int_0^\tau P(\tau_1) \times$$

$$\times \sum_{n=0}^{\infty} (2n + 1)[L_{1n} \sin(\omega_1(\tau - \tau_1)) + L_{2n} \sin(\omega_2(\tau - \tau_1))] P_n(\cos(\delta_1 \varphi)) d\tau_1,$$

$$L_{in} = (B - \omega_i^2)(\omega_i(\omega_1^2 - \omega_2^2))^{-1}, \quad i = 1, 2. \quad (8)$$

Подставив в (1) выражения (2), (8) и выражения для  $\alpha$ , соответствующие различным моделям местного смятия, получим нелинейное интегральное уравнение относительно  $P(t)$ , которое решается по следующей итерационной схеме [1]:

$$\tau_i = \tau_i,$$

$$s_i = s_{i-1} + V_{i-1}\tau + y_{i-1}\tau^2/2,$$

$$w_i = \tau \frac{1 - \nu_1^2}{2\pi R_1 h E_1(1 - \cos \varphi_0)} \sum_{n=0}^{\infty} \sum_{j=1}^{i-1} P_j(2n + 1)[L_{1n} \sin(\omega_1(i - j)\tau) + L_{2n} \sin(\omega_2(i - j)\tau)],$$

$$\alpha_i = s_i - w_i,$$

вычисляется  $P_i$  по  $\alpha_i$ ,

$$y_i = -P_i/m,$$

$$V_i = V_{i-1} + y_i\tau.$$

Начальные условия записываются в виде  $V|_{i=0} = V_0/c$ ,  $s_0 = 0$ ,  $y_0 = 0$ .

Величины  $P_i$  вычисляются по  $\alpha_i$  на основе решения контактной задачи с использованием следующих моделей:

— для шарообразного ударника с радиусом кривизны в точке контакта  $R_2$ :

1) упругопластическая [3, 4]:

$$\alpha = \begin{cases} bP^{2/3}, & P_{\max} < P_1, \quad dP/dt > 0, \\ b_f P^{2/3} + \alpha_p(P_{\max}), & dP/dt < 0, \quad P_{\max} > P_1, \\ (1 + \beta)c_1 P^{1/2} + (1 - \beta)Pd, & dP/dt > 0, \quad P_{\max} > P_1, \end{cases} \quad (9)$$

где  $b = R^{-1/3}(3/(4E))^{2/3}$ ;  $R^{-1} = R_2^{-1} - R_1^{-1}$ ;  $E = E_1E_2((1 - \nu_1^2)E_2 + (1 - \nu_2^2)E_1)^{-1}$ ;  $P_1 = \chi^3(3R/(4E))^2$ ;  $\chi = \pi k\lambda$ ;  $k$  — наименьшая из двух пластических констант соударяющихся тел;  $\lambda = 5,7$ ;  $b_f = R_f^{-1/3}(3/(4E))^{2/3}$ ;  $R_f = (4/3)EP_{\max}^{1/2}\chi^{-3/2}$ ;  $\alpha_p(P_{\max}) = (1 - \beta)P_{\max}(2\chi R_p)^{-1}$ ;  $R_p^{-1} = R^{-1} - R_f^{-1}$ ;  $\beta = 0,33$ ;  $c_1 = 3\chi^{1/2}(8E)^{-1}$ ;  $d = (2\chi R)^{-1}$ ;

2) модель Кильчевского [5]:

$$\alpha = \begin{cases} bP^{2/3}, & P < P_0, \quad dP/dt > 0, \\ bP^{2/3} + Pd, & P > P_0, \quad dP/dt > 0, \\ bP^{2/3} + P_{\max}d, & P_{\max} > P_0, \quad dP/dt < 0, \end{cases} \quad (10)$$

где  $P_0 = (4/3)Ea_0^3R^{-1}$ ;  $a_0 = \pi kR(0,62E)^{-1}$ ;

3) модель Герца:

$$\alpha = bP^{2/3}; \quad (11)$$

4) жесткопластическая (следует из (9), если отбросить упругие члены):

$$\alpha = (1 - \beta)Pd; \quad (12)$$

— для конического ударника с углом раствора конуса  $2\gamma$ :

1) упругая [6]:

$$\alpha = (\pi \operatorname{ctg} \gamma / (2E))^{1/2} P^{1/2}; \quad (13)$$

2) упругопластическая [7]:

$$\alpha = \begin{cases} c_2 P^{1/2}, & dP/dt > 0, \\ (P\chi)^{1/2} E_1^{-1} + \alpha_{p,\max}, & dP/dt \leq 0, \end{cases} \quad (14)$$

где  $c_2 = \operatorname{ctg} \gamma (1 - \delta)\chi^{-1/2} + (1 + 2(\delta - 1)/\pi)\chi^{1/2}E^{-1}$ ;  $\alpha_{p,\max} = (1 - \delta)(P_{\max}/\chi)^{1/2}(\operatorname{ctg} \gamma - 2\chi/(\pi E))$ ;  $\delta = 0,22$ .

На рис. 1–3 представлены зависимости  $P(t)$ , полученные с использованием моделей местного смятия (9)–(14) при следующих значениях параметров задачи: радиус оболочки  $R_1 = 1$  м, толщина оболочки  $h = 0,01$  м, угол раствора купола  $\varphi_0 = 90^\circ$ , радиус шарообразного ударника  $R_2 = 0,02$  м, масса ударника  $m = 0,25$  кг, материал оболочки и ударника — сталь ( $P_1, P_2, t_1, t_2$  — максимальные значения контактной силы и времени контакта для сферического и конического ударников при использовании упругопластических моделей (9) и (14) соответственно).

Из рис. 1–3 следует, что результаты решений, соответствующих моделям (9) и (14), хорошо согласуются с экспериментальными данными [8]. Модель Герца (11) дает удовлетворительные результаты при  $V_0 < 0,15$  м/с, жесткопластическая модель (12) применима

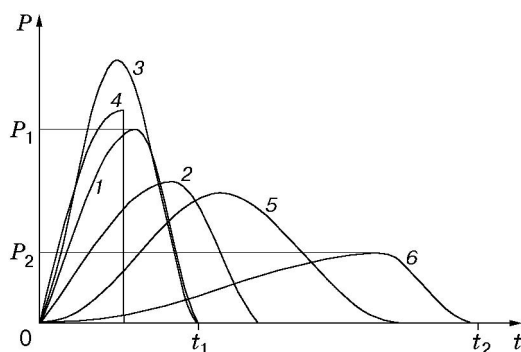


Рис. 1. Зависимость  $P(t)$  при  $V_0 = 0,5$  м/с ( $P_1 = 4470,14$  Н,  $P_2 = 1609,58$  Н,  $2\gamma = 150^\circ$ ,  $t_1 = 0,000\,253\,164\,7$  с,  $t_2 = 0,000\,699\,146\,8$  с):

1 — упругопластическая модель для шарика (9); 2 — модель Кильчевского (10); 3 — модель Герца (11); 4 — жесткопластическая модель (12); 5 — упругая модель для конуса (13); 6 — упругопластическая модель для конуса (14)

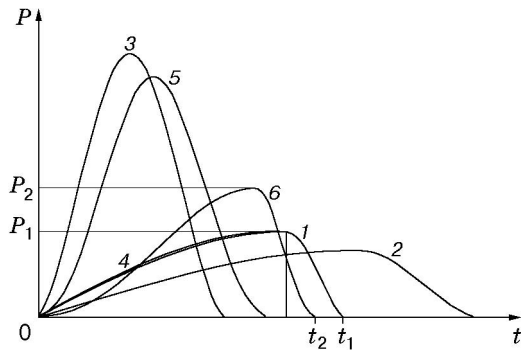


Рис. 2

Рис. 2. Зависимость  $P(t)$  при  $V_0 = 50$  м/с ( $P_1 = 490,28$  кН,  $P_2 = 744,3$  кН,  $2\gamma = 150^\circ$ ,  $t_1 = 0,000\,164\,851\,4$  с,  $t_2 = 0,000\,150\,132\,6$  с) (обозначения те же, что на рис. 1)

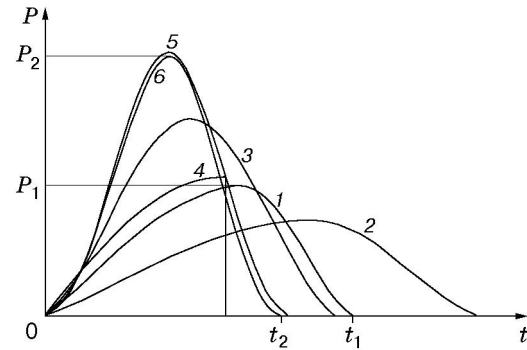


Рис. 3

Рис. 3. Зависимость  $P(t)$  при  $V_0 = 1$  м/с ( $P_1 = 9194,98$  Н,  $P_2 = 18\,352,5$  Н,  $2\gamma = 178^\circ$ ,  $t_1 = 0,000\,229\,614\,5$  с,  $t_2 = 0,000\,176\,626\,5$  с) (обозначения те же, что на рис. 1)

лишь при  $V_0 > 10$  м/с. При определении основных характеристик удара с использованием упругой модели для конуса (13) погрешность может достигать 100 %. Модель Кильчевского (10) также дает значительную погрешность.

## ЛИТЕРАТУРА

1. Тимошенко С. П. Прочность и колебания элементов конструкций. М.: Наука, 1975.
2. Корн Г. А., Корн Т. М. Справочник по математике для научных работников и инженеров. М.: Наука, 1984.
3. Александров В. М., Ромалис Б. Л. Контактные задачи в машиностроении. М.: Машиностроение, 1986.
4. Александров В. М., Кадомцев И. Г., Царюк Л. Б. Осесимметричные контактные задачи для упругопластических тел // Трение и износ. 1984. Т. 1, № 1. С. 16–26.
5. Кильчевский Н. А. Динамическое контактное сжатие твердых тел. Удар. Киев: Наук. думка, 1976.
6. Штаерман И. Я. Контактная задача теории упругости. М.; Л.: Гостехтеоретиздат, 1949.
7. Кадомцев И. Г. Осесимметричное упругопластическое соударение двух тел, одно из которых коническое // Изв. Сев.-Кавк. науч. центра высш. шк. Естеств. науки. 1990. № 4. С. 50–54.
8. Батуев Г. С., Голубков Ю. В., Ефремов А. К., Федосов А. А. Инженерные методы исследования ударных процессов. М.: Машиностроение, 1977.

Поступила в редакцию 13/III 2002 г.